

# تهیه و شناسایی بلورهای کادمیم اکسید ناخالص شده با عناصر لانتانیدی گادولینیوم ( $Gd^{3+}$ ) و لوتیوم ( $Lu^{3+}$ ) به روش سل-ژل

سجاد احمد پور\*<sup>+</sup>، عبدالعلی عالمی، شاهین خادمی نیا  
تبریز، دانشگاه تبریز، دانشکده شیمی، گروه شیمی معدنی

**چکیده:** در این کار پژوهشی، بلورهای کادمیم اکسید خالص و ناخالص شده با عناصر لانتانیدی گادولینیوم و لوتیوم به روش سل-ژل در دمای  $900^{\circ}C$  تهیه شد. ساختار، اندازه و ریخت شناسی ذره های تهیه شده با روش های الگوینیاب  $XRD$ ،  $SEM$ ،  $FT-IR$  مورد بررسی قرار گرفت. همچنین اندازه های شبکه بلوری کادمیم اکسید با استفاده از نرم افزار  $Celref Version 3$  تعیین شد. ویژگی های نوری نمونه های تهیه شده ناخالص شده با عناصر لانتانیدی، با بهره گیری از الگو بنیاب جنبی  $UV-Vis$  بررسی شد. همچنین کاتیون های لانتانیدی ( $Gd^{3+}, Lu^{3+}$ ) در ذره های تهیه شده کادمیم اکسید، آلایش شد و ویژگی های جدید آنها مورد مطالعه قرار گرفت.

**واژه های کلیدی:** ساختار مکعبی، روش سل-ژل، گادولینیوم اکسید، لوتیم اکسید، گاف انرژی.

**KEY WORDS:** Cubic structure, Sol-gel process, Gadolinium oxide, Lutetium oxide, Gab band.

## مقدمه

به عنوان نیمرسانای فتوولتائیک شمرده می شود. کادمیم اکسید با روش هایی مانند سل-ژل، پیرولیز افسانه ای، روش های لایه نشانی بخار شیمیایی، سولوترمال و همرسویی تهیه شده است [۶، ۵]. پنگ و همکاران نانو سیم های  $CdO$  را با استفاده از اکسایش مخلوط  $Cd/Te$  بر روی بستر، در محیط اکسیژن - آرگون در دمای  $400^{\circ}C$  درجه سلسیوس تهیه نمودند [۷]. در یک روش دیگر نانو سیم های کادمیم اکسید با استفاده از کاتالیست طلا تهیه شده اند. این روش که به صورت مرحله ای می باشد، فراورده بعد از دو مرحله گرمادهی تهیه شده است [۸]. فیلم های نانوخوشه ای  $CdO$  به طور موفقیت آمیز توسط روش سل-ژل با استفاده از مواد اولیه کادمیم استات و متوكسی اتانول به عنوان مواد آغازگر و مونواتانول آمین نیز به عنوان پایدار کننده تهیه شده اند.

کادمیم اکسید در سلول های فتوولتائیک، حسگرهای گازی و همچنین نیمرساناهای در صنایع الکترونیک کاربرد دارد. به تازگی عناصر تیتانیم، ساماریوم، منگنز، روی، گالیوم، ایندیوم، الومینیوم و قلع در ساختار کادمیم اکسید آلایش شده است. نمونه های تهیه شده دارای فاز مکعبی و با عدد کوردناسیون  $n=6$  می باشد [۱-۳]. در فرایند سل-ژل کادمیم اکسید در فرایند گرمایی  $400^{\circ}C$  تا  $500^{\circ}C$  درجه سلسیوس به مدت ۱ ساعت تهیه شد. کادمیم اکسید در نبود عناصر ناخالصی شونده نیز، هدایت الکتریکی بالایی نشان می دهد [۴]. اکسیدهای رسانای شفاف (TCO) کاربردهای مهمی در تولید ابزارهای الکترونیکی دارند. کادمیم اکسید یک نیمرسانای نوع  $n$  و گاف انرژی برابر با  $2/5$  الکترون ولت بوده و به دلیل رسانایی بالای آن و همچنین شفافیت آن در ناحیه مرئی،

\* عهده دار مکاتبات

+E-mail: sajjadahmadpour@yahoo.com

جدول ۱- موازنۀ شیمیایی واکنش مربوط به تهیه کادمیم اکسید خالص.

$C_6H_8O_7$	$(NO_3)_2Cd \cdot 4H_2O$	نمونه
۰/۰۱ مولار ۰/۸۳۹ گرم	۰/۰۱ مولار ۱/۲۳۳ گرم	CdO خالص

با در نظر گرفتن معادله شیمیایی واکنش، کادمیم نیترات چهار آبه و ژل ساز سیتریک اسید در ۴۰۰ میلی لیتر آب دوبارتقطیر شده حل شد. محلول به دست آمده روی گرم کننده در دمای ۸۰ درجه سلسیوس برای ۲ ساعت هم زده شد تا ژل خشک تولید شود. این ژل خشک که از نظر ساختاری بی‌شکل و اسفنجی و به رنگ قهوه‌ای بود در کوره در فرایند گرمایی در دمای ۹۰۰ درجه سلسیوس به مدت ۱۳ ساعت قرار گرفت. طی این فرایند گرمایی مواد آلی و ژل ساز خارج و سپس فراورده‌ی کادمیم اکسید خالص پس از سرد شدن تا دمای اتفاق در هاوون ساییده شد.

- برای تهیه کادمیم اکسید آلایش شده با  $(Gd^{3+}, Lu^{3+})$  با در نظر گرفتن معادله شیمیایی واکنش، مطابق با جدول ۲ مقدارهای معین از کادمیم نیترات، گادولینیوم اکسید و لوتیم اکسید و ژل ساز سیتریک اسید در ۴۰۰ میلی لیتر آب دوبارتقطیر شده حل شد. محلول به دست آمده روی گرم کننده در دمای ۸۰ درجه سلسیوس برای ۲ ساعت هم زده شد تا ژل خشک تولید نماید. ژل به دست آمده در فرایند گرمایی در دمای ۹۰۰ درجه سلسیوس به مدت ۱۳ ساعت قرار گرفت تا فراورده‌ی کادمیم اکسید ناخالص شده با گادولینیوم ولوتیم تهیه شود.

### نتیجه‌های اینجا

شکل ۱ الگوی XRD نمونه کادمیم اکسید خالص را نشان می‌دهد. قله‌های موجود، نشانگر تولید کادمیم اکسید هستند. قله‌های کوچک در نواحی  $30^\circ, 32^\circ, 37^\circ, 50^\circ, 58^\circ$  به دست آمده در فرایند گرمایی موجود در نمونه‌های تهیه شده می‌باشد. الگوی مربوط به ناخالصی‌های موجود در نمونه‌های تهیه شده می‌باشد. PDFNomber = (۰۶۴۰-۰۵) است. در دست آمده مطابق با کارت ASTM با شکل ۲ نشان داده شده است.

شکل ۲ و ۳ الگوی XRD نمونه کادمیم اکسید آلایش شده با  $0/8$  و  $0/4$  درصد وزنی عنصر گادولینیوم را نشان می‌دهد. در این الگوهای ساختار بلوری کادمیم اکسید حفظ می‌شود و گادولینیوم اکسید تشکیل فاز جدید نمی‌دهد بلکه در ساختار بلوری کادمیم اکسید به میزان  $0/8$  درصد وزنی آلایش می‌شود. با توجه به شکل ۴ با افزایش درصد آلایش به میزان ۱ درصد وزنی، سه تا قله در زاویه  $29^\circ, 47^\circ, 54^\circ$  دیده می‌شود که

عنصر لانتانیدی لوتیوم پتانسیل استفاده در مواد ابرسانا را دارد. این ماده همچنین استفاده‌های ساخت سرامیک‌ها، شیشه‌های فسفری و لیزرها را دارد. لوتیم اکسید به عنوان کاتالیست در شکستن، آلکیلاسیون، هیدروژناسیون ترکیب‌های آلی کاربرد داشته و با آلایش نمودن این عنصر در ساختار اکسید کادمیم ویژگی‌های کاتالیستی و گزینش‌پذیری آن برای انواع واکنش‌ها، به عنوان کاتالیست بهبود می‌یابد [۹]. اکسید گادولینیوم با داشتن ویژگی‌های کاتالیستی و حسگر گازی و ابزارهای نوری، می‌تواند ویژگی‌های کادمیم اکسید، مانند حسگر گازی، ویژگی‌های نوری و کاتالیستی را بهبود دهد. دیده شده است که در اثر آلایش کردن عناصر با شعاع کمتر از شعاع اتمی کادمیم (II)، شبکه بلوری اکسید به دست آمده به آرامی فشرده می‌شود و باعث افزایش جذب نوری در ناحیه مرئی و IR می‌شود [۱۰].

### بخش تجربی

#### مواد اولیه

مواد مصرفی در این کار، کادمیم نیترات چهار آبه (مرک)، {سیتریک اسید  $(C_6H_8O_7)$  (مرک)}, {گادولینیوم اکسید  $(Gd_2O_3)$  (مرک)}, {لوتیم اکسید  $(Lu_2O_3)$  (مرک)} بودند.

#### دستگاه‌ها

- برای خشک کردن و گرم کردن نمونه‌ها از آون گرمایی تا  $300$  درجه سلسیوس و از کوره گرمایی  $1400$  درجه سلسیوس استفاده شد.

- الگوی پراش پرتو X به وسیله دستگاه Philips بالاستفاده از دیفراکتومتر نوع  $2000\text{ PW}$  و تابش تیوب آندمس با طول موج  $1/54$  آنگستروم انجام گرفت.

- طیف UV-Vis با استفاده از اسپکتروفوتومتر UV مدل Du-600 در ناحیه  $300-1000$  نانومتر مورد سنجش قرار گرفت.

- طیف FT-IR در یک اسپکترومتر IR سامانه Genesis تهیه شد.

- میکروگراف الکترونی (SEM) با دستگاه Philips انجام گرفت.

#### روش تهیه

- برای تهیه کادمیم اکسید خالص مطابق با جدول ۱ و

جدول ۲- موازنۀ شیمیابی واکنش مربوط به، تهیه کادمیم اکسید آلایش شده با عناصر لantanیدی گادولینیوم ولوتیوم.

$C_6H_8O_7$	$Gd_2O_3$	$Lu_2O_3$	$(NO_3)_2Cd, 4H_2O$	نمونه
۰/۰۱ مولار گرم ۰/۸۳۹	---- ----	۰/۰۰۰۰۴ مولار گرم ۰/۰۷	۰/۰۰۹۹۶ مولار گرم ۱/۲۳۲	دوپه ۰/۴ درصد لوتیوم
۰/۰۱ مولار گرم ۰/۸۳۹	---- ----	۰/۰۰۰۰۸ مولار گرم ۰/۰۱۲	۰/۰۰۹۹۴ مولار گرم ۱/۲۲۳	دوپه ۰/۸ درصد لوتیوم
۰/۰۱ مولار گرم ۰/۸۳۹	---- ----	۰/۰۰۰۱ مولار گرم ۰/۰۱۵	۰/۰۰۹۹ مولار گرم ۱/۲۲۰	دوپه ۱ درصد لوتیوم
۰/۰۱ مولار گرم ۰/۸۳۹	۰/۰۰۰۴ مولار گرم ۰/۰۰۵	----	۰/۰۰۹۹۶ مولار گرم ۱/۲۲۸	دوپه ۰/۴ درصد گادولینیوم
۰/۰۱ مولار گرم ۰/۸۳۹	۰/۰۰۰۸ مولار گرم ۰/۰۱۱	----	۰/۰۰۹۹۲ مولار گرم ۱/۲۲۳	دوپه ۰/۸ درصد گادولینیوم
۰/۰۱ مولار گرم ۰/۸۳۹	۰/۰۰۰۱ مولار گرم ۰/۰۱۴	----	۰/۰۰۹۹ مولار گرم ۱/۲۲	دوپه ۱ درصد گادولینیوم

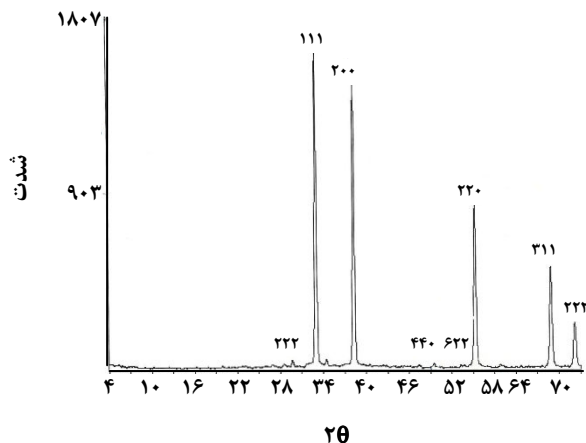
به هم چسبیده و با تخلخل بالا و همچنین اندازه ای بین ۲۰۰ نانو متر تا چند میکرومتر دارند. در شکل ۹-ب در اثر افزایش مقدار آلایش عنصر لوتیوم در ساختار کادمیم اکسید، ذره‌ها به هم نزدیک شده‌اند و بین ذره‌ها فاصله وجود دارد. ریزترین اندازه ذره‌ها را نیز می‌توان در حدود ۳۰۰ نانومتر تخمین زد.

با استفاده از طیف‌های FT-IR تغییر رفتار نوری نمونه‌های تهیه شده در طول موج‌های گوناگون بررسی شد. شکل ۱۰-الف طیف IR-NaOH نمونه کادمیم اکسید خالص تهیه شده به روش سل-ژل را نشان می‌دهد. قله کوچک و پهن ناحیه  $3446\text{ cm}^{-1}$  مربوط به ارتعاش کششی گروه هیدروکسیل  $\text{Cd}(\text{OH})_2$  است که با توجه به حساس بودن نمونه‌های تهیه شده به آب، می‌تواند در اثر جذب رطوبت باشد. تشکیل فاز کادمیم اکسید به قله‌های ناحیه  $400\text{ cm}^{-1}$  تا  $600\text{ cm}^{-1}$  نسبت داده می‌شود. چند شاخه شدن قله‌های ناحیه  $400\text{ cm}^{-1}$  تا  $600\text{ cm}^{-1}$  در اثر ک فاز  $\text{Cd}(\text{OH})_2$  می‌باشد. شکل ۱۰-ب طیف IR-NaOH نمونه کادمیم اکسید آلایش شده با  $0/۸$  درصد وزنی گادولینیوم را نشان می‌دهد. با توجه به مرجع قله تیز موجود در  $1698\text{ cm}^{-1}$  مربوط به مدار ارتعاشی  $\text{Gd}_2\text{O}_3$  می‌باشد [۱۳]. قله‌های موجود در  $1456\text{ cm}^{-1}$  و  $1543\text{ cm}^{-1}$  می‌باشد [۱۴]. با توجه به مدار ارتعاشی Gd-O می‌باشد. شکل ۱۰-پ طیف IR-NaOH نمونه کادمیم اکسید آلایش شده با  $0/۸$  درصد وزنی لوتیوم به ارتعاش‌های  $1423\text{ cm}^{-1}$  و  $1592\text{ cm}^{-1}$  مربوط را نشان می‌دهد. قله‌های ناحیه  $1423\text{ cm}^{-1}$  می‌باشند [۱۵]. سایر قله‌ها را می‌توان به جذب‌های هارمونیک، ترکیبی و اختلافی نسبت داد.

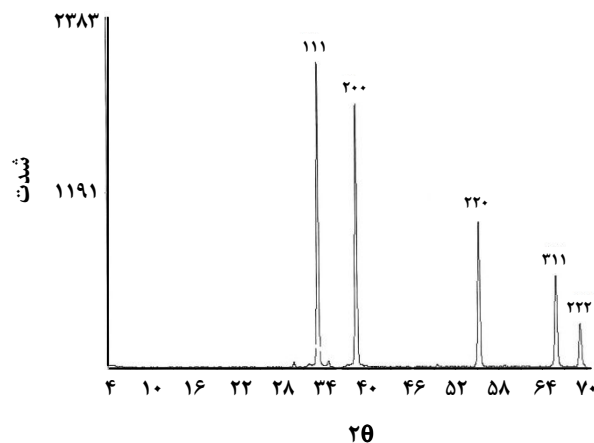
با توجه به مراجع، مربوط به گادولینیوم اکسید می‌باشد [۱۲]. بنابراین آلایش گادولینیوم در ساختار کادمیم اکسید به میزان  $0/۸$  درصد وزنی می‌باشد.

شکل‌های ۵ و ۶ الگوی XRD نمونه کادمیم اکسید آلایش شده با  $0/۴$  و  $0/۸$  درصد وزنی عنصر لوتیوم را نشان می‌دهد. در این الگوها ساختار بلوری کادمیم اکسید حفظ می‌شود و لوتیوم اکسید فاز جدید تشکیل نمی‌دهد بلکه در ساختار بلوری کادمیم اکسید آلایش می‌شود. بنابراین حد آلایش عنصر لوتیوم در کادمیم اکسید برابر با  $0/۸$  درصد وزنی می‌باشد.

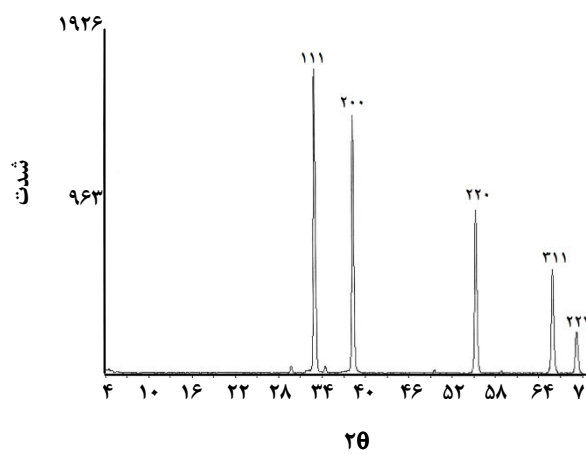
با استفاده از تصویرهای SEM ریخت‌شناسی سطوح نمونه‌ها، اندازه ذره‌های به دست آمده و دانه‌بندی آنها بررسی شد. با توجه به شکل ۷ دیده می‌شود که ذره‌های تهیه شده دارای دو نوع تراکم، به صورت چند وجهی‌های منظم می‌باشند که اندازه آنها با توجه به شکل در حدود ۱ تا  $3\text{ }\mu\text{m}$  میکرومتر می‌باشند. در شکل ۸-الف در اثر آلایش عنصر گادولینیوم در ساختار کادمیم اکسید، ذره‌های به دست آمده به صورت ناهمگن بوده و دارای وجههای مشخص می‌باشند. اندازه کوچکترین ذره تهیه شده در حدود  $300\text{ nm}$  می‌باشد. با توجه به شکل ۸-ب در اثر افزایش مقدار آلایش عنصر گادولینیوم، ذره‌های به دست آمده ناهمگن‌تر شده و ذره‌های ریزی به صورت زایده بر روی ذره‌های تهیه شده ایجاد شده است. اندازه ذره‌های زایده در حدود  $200\text{ nm}$  می‌باشد. در شکل ۹-الف با عمل آلایش عنصر لوتیوم در ساختار کادمیم اکسید، اجزا سازنده این ساختار ناهمگن و دارای ذره‌هایی



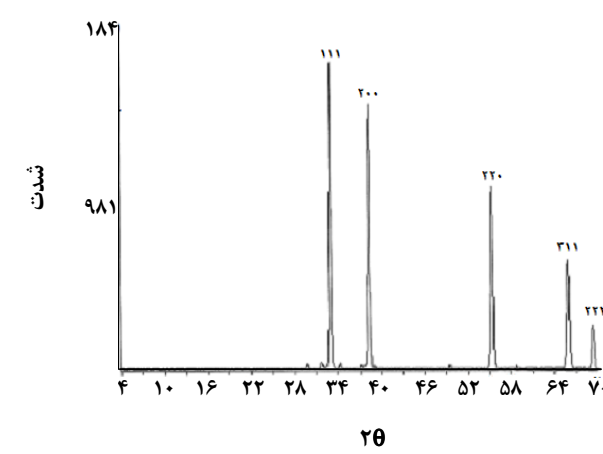
شکل ۴- الگوی پراش اشعه X برای نمونه کادمیم اکسید آلایش شده با ۱ درصدوزنی گادولینیوم.



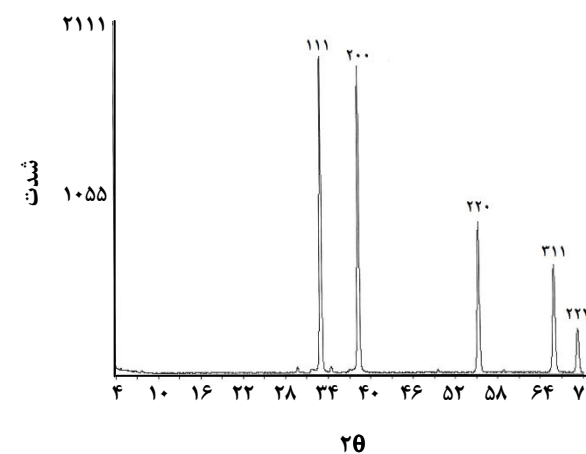
شکل ۱- الگوی پراش اشعه X برای کادمیم اکسید خالص.



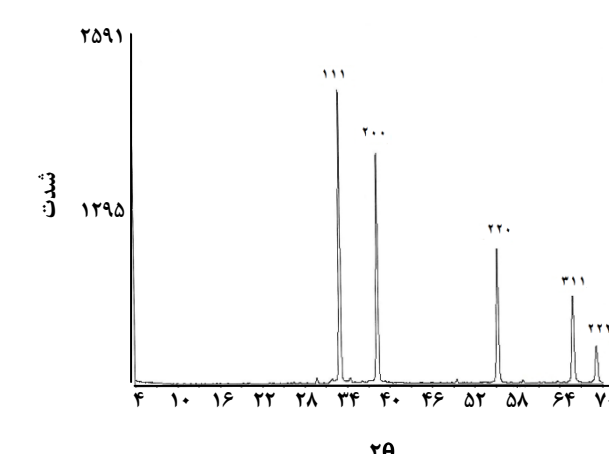
شکل ۵- الگوی پراش اشعه X برای نمونه کادمیم اکسید آلایش شده با ۴٪ درصدوزنی لوتیوم.



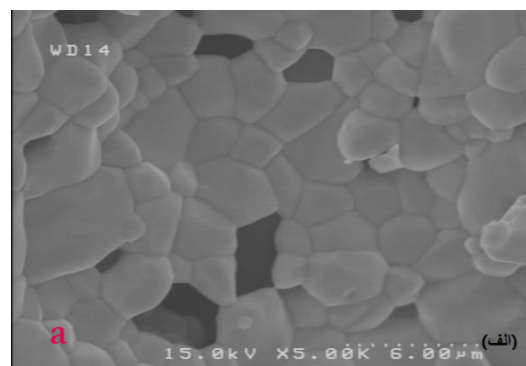
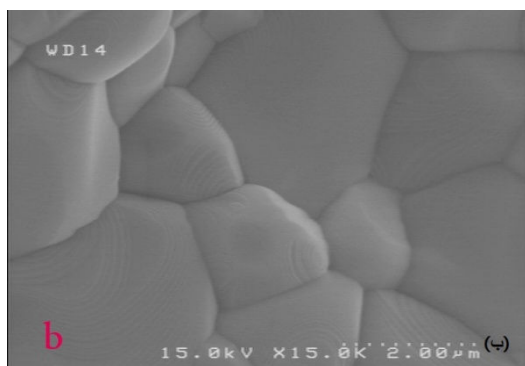
شکل ۲- الگوی پراش اشعه X برای نمونه کادمیم اکسید آلایش شده با ۸٪ درصدوزنی گادولینیوم.



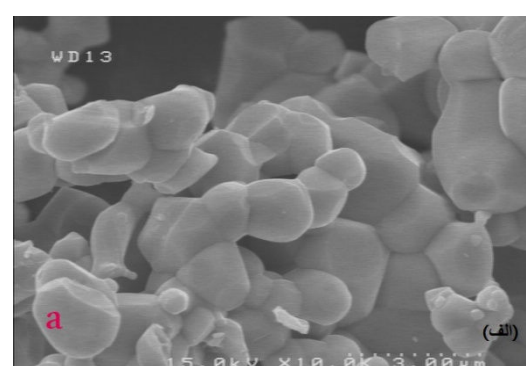
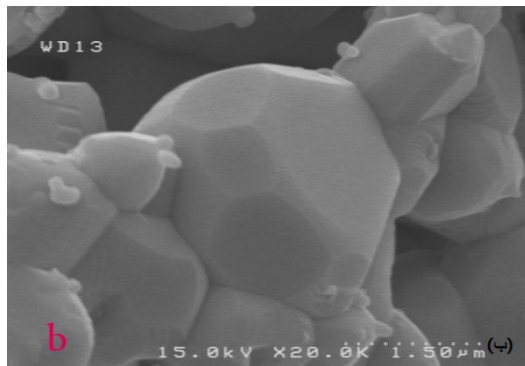
شکل ۶- الگوی پراش اشعه X برای نمونه کادمیم اکسید آلایش شده با ۱۰٪ درصدوزنی لوتیوم.



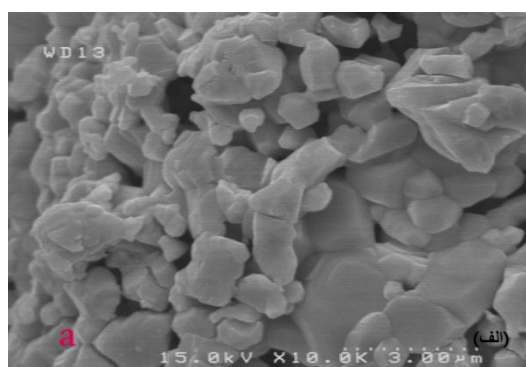
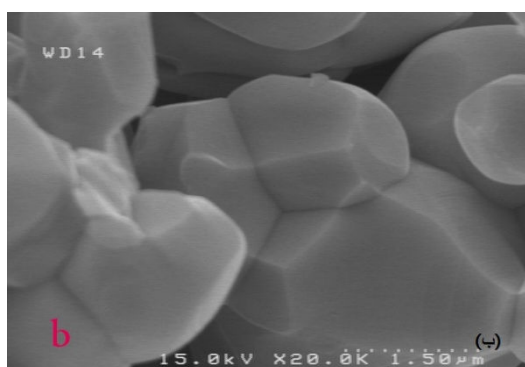
شکل ۳- الگوی پراش اشعه X برای نمونه کادمیم اکسید آلایش شده با ۱۲.۹۵٪ درصدوزنی گادولینیوم.



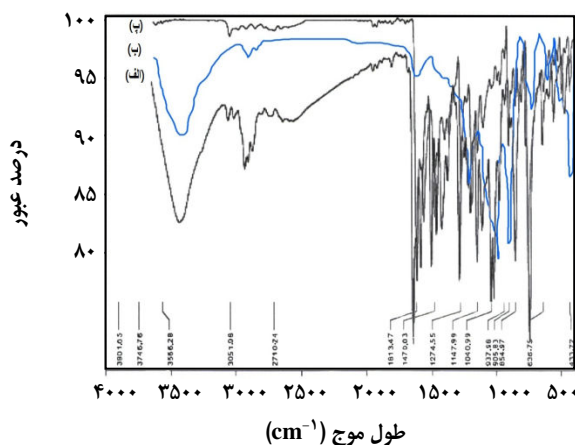
شکل ۷- تصویر SEM نمونه تهیه شده CdO خالص (الف) با بزرگنمایی  $\times 5000$  و (ب) با بزرگنمایی  $\times 10000$ .



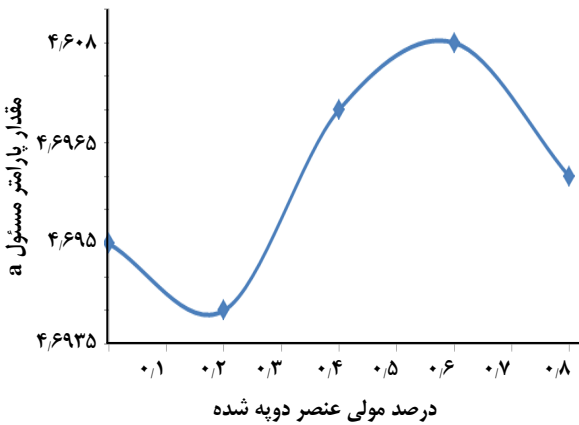
شکل ۸- تصویر SEM نمونه CdO آلایش شده با عنصر گادولینیوم (الف) آلایش ۰.۴ درصد وزنی Gd با بزرگنمایی  $\times 10000$  و (ب) آلایش ۰.۸ درصد وزنی Gd با بزرگنمایی  $\times 20000$ .



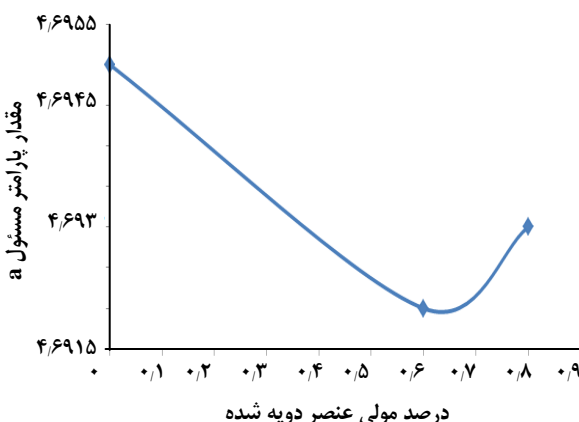
شکل ۹- تصویر SEM نمونه CdO آلایش شده با عنصر لوتیم (الف) آلایش ۰/۴ درصد وزنی Lu با بزرگنمایی  $\times 10000$  و (ب) آلایش ۰/۸ درصد وزنی Lu با بزرگنمایی  $\times 20000$ .



شکل ۱۰- طیف FT-IR نمونه CdO سنتز شده به روش سل - ژل (الف) نمونه CdO خالص (ب) نمونه CdO آلایش شده با ۸٪ درصد وزنی Gd (پ) نمونه CdO آلایش شده با ۸٪ درصد وزنی Lu.



شکل ۱۱- نمودار پارامتر سلولی محاسبه شده برای نمونه های آلایش شده با گادولینیوم.



شکل ۱۲- نمودار پارامتر سلولی محاسبه شده برای نمونه های آلایش شده با لوتیوم.

با استفاده از داده های XRD مربوط به نمونه های آلایش شده و نرم افزار ۳ Celref version پارامترهای سلول واحد برای نمونه های تهیه شده محاسبه شد. با توجه به اینکه نمونه کادمیم اکسید در سامانه مکعبی (a=b=c) تشکیل بلوری دهد و پارامتر a برای این اکسید برابر ۴,۶۹۵ A° می باشد تغییرهای این اکسید در اثر آلایش نمودن عناصر لantanیدی لوتیوم و گادولینیوم می باشد. با توجه به شکل ۱۱ در اثر آلایش کردن عنصر گادولینیوم در ساختار کادمیم اکسید پارامتر a، کاهش یافته و با افزایش مقدار آلایش، افزایش و سپس کاهش می یابد که نشان می دهد در اثر تغییر مقدار گادولینیوم روند منظمی در تغییر پارامتر a وجود ندارد. با توجه به شکل ۱۲ در اثر تغییر مقدار لوتیوم در ساختار اکسید پارامتر a، ابتدا کاهش و با افزایش بیشتر مقدار لوتیوم، افزایش می یابد که نشان می دهد ابتدا ساختار بلوری کادمیم اکسید منقبض و سپس منبسط می شود.

شکل ۱۳ طیف UV-Vis نمونه CdO تهیه شده به روش سل - ژل را نشان می دهد. طیف کادمیم اکسید خالص دارای یکی در ناحیه ۵۲۰ نانومتری باشد. گاف انرژی محاسبه شده طبق معادله (۱) برابر ۲۲/۲ الکترون ولت می باشد [۱۶].

$$\alpha = A^* (h\nu - E_g)^{1/2} \quad (1)$$

معادله (۱) - معادله محاسبه گاف انرژی براساس طول موج جذب UV-VIS می باشد.

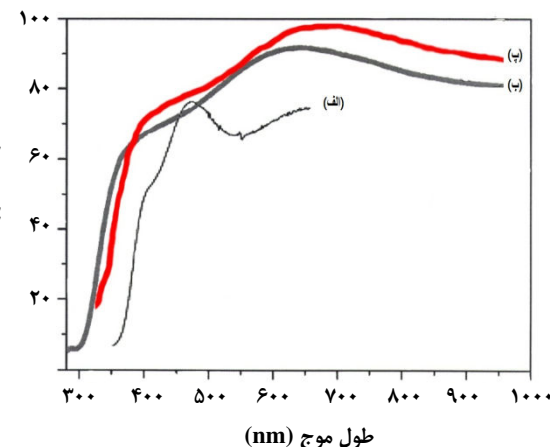
شکل ۱۳ - ب طیف UV-Vis نمونه CdO آلایش شده با ۸٪ درصد وزنی Gd را نشان می دهد. با توجه به الگوی جذبی با آلایش نمودن گادولینیوم در ساختار کادمیم اکسید، یک جذبی کادمیم اکسید خالص از ۵۲۰ نانومتری ۵۹۰ نانومتر تغییر مکان داده است. گاف انرژی محاسبه شده برای آلایش ۰.۸٪ درصد وزنی گادولینیوم برابر ۲/۱ الکترون ولت است پس با آلایش گادولینیوم در ساختار کادمیم اکسید، گاف انرژی کاهش می یابد. شکل ۱۳ - ب طیف UV-Vis کادمیم اکسید آلایش شده با عنصر لوتیوم را نشان می دهد. همان گونه که دیده می شود یک یک در ناحیه ۶۱۰ نانومتر وجود دارد. با آلایش عنصر لوتیوم در ساختار کادمیم اکسید یک ناحیه ۵۲۰ نانومتر به اندازه ۹۰ نانومتر به طول موج های بلندتر جایه جا شده است. گاف انرژی محاسبه شده برابر ۳/۰ الکترون ولت است.

گزینش پذیری کادمیم اکسید در انجام این واکنش‌ها شود. گadolینیوم اکسید با داشتن ویژگی‌های کاتالیستی و حسگر گازی و ابزارهای نوری می‌تواند ویژگی‌های کادمیم اکسید مانند حسگر گازی، ویژگی‌های نوری و کاتالیستی را بهبود دهد. الگوهای XRD نمونه‌ها، نشان‌دهنده تهیه کادمیم اکسید خالص و نمونه‌های آلایش شده آن با اکسیدهای لوتیوم و گadolینیوم می‌باشد. با استفاده از تصویرهای SEM ریخت شناسی سطوح نمونه‌ها، اندازه دانه‌ها و همچنین چگونگی دانه‌بندی و در کار هم قرار گرفتن آنها بررسی شد. طیف FT-IR شیوه‌های ارتعاشی نمونه‌های تهیه شده را نشان می‌دهد و با توجه به موقعیت ارتعاش اتم‌ها، تشکیل پیوند بین عناصر آلایش شده و کادمیم در ساختار کادمیم اکسید اثبات می‌شود. در طیفهای UV-Vis الگوی جذبی نمونه‌های تهیه شده به دست آمد و اثر عناصر آلایش شونده بر الگوی جذبی کادمیم اکسید بررسی شد و همچنین از روی طول موج جذبی نمونه‌های تهیه شده گاف انرژی محاسبه شد و با گاف انرژی کادمیم اکسید خالص مقایسه شد که نشان داد با آلایش عناصر لantanیدی در ساختار کادمیم اکسید، گاف انرژی کاهش می‌یابد.

### قدرتانی

نویسنده‌گان از همکاری دانشکده شیمی و دانشکده فیزیک دانشگاه تبریز در این کار پژوهشی تشکر می‌نمایند.

تاریخ دریافت: ۱۳۹۲/۱/۱۷؛ تاریخ پذیرش: ۱۳۹۲/۱۲/۱۹



شکل ۱۳- طیف UV-Vis نمونه CdO تهیه شده به روش سل - ژل (الف) نمونه کادمیم اکسید خالص (ب) آلایش شده با  $0.8\text{ درصد وزنی}$  Gd (پ) آلایش شده با  $0.8\text{ درصد وزنی}$  Lu

### نتیجه‌گیری

با توجه به بررسی‌های انجام یافته می‌توان نتیجه گرفت که شبکه بلوری کادمیم اکسید در اثر آلایش تغییری نمی‌کند ولی اندازه‌های سلول واحد با نوع عنصر آلایش شونده و مقدارهای آنها تغییر می‌کند. با توجه به این که لوتیوم اکسید پتانسیل استفاده در مواد ابررسانا را دارد بنابرین آلایش آن در ساختار کادمیم اکسید می‌تواند رسانایی کادمیم اکسید را بهبود دهد. همچنین لوتیوم اکسید با داشتن ویژگی‌های کاتالیستی در شکستن، آلکیلاسیون، هیدروژناسیون ترکیب‌های آلی می‌تواند باعث بهبود، آسانی و

### مراجع

- [1] نعمتی، زیارت‌علی؛ ارتباط ریزساختارها و خواص الکتریکی در سرامیک‌های باریم تیتانات، نشریه شیمی و مهندسی شیمی ایران، (۱)، ص. ۲۶، ۱۳۸۶.
- [2] Fahrettin Y., Mujdat C., Yasemin C., Saliha I., Electrical Characterization of Nanocluster n-CdO/p-Si Heterojunction Diode, *Journal of Alloys and Compounds*, **506** (1), p.188 (2010).
- [3] Moholkar A.V., Agawane G.L., Kyu-Ung Sim., Ye-bin Kwon., Doo Sun Choi., Rajpure K.Y., Kim J.H., Temperature Dependent Structural, Luminescent and XPS Studies of CdO:Ga Thin Films Deposited by Spray Pyrolysis, *Journal of Alloys and Compounds*, **506** (2), p. 794 (2010).
- [4] Aksoy S., Caglar Y., Ilican Saliha., Caglar M., Effect of Heat Treatment on Physical Properties of CdO Films Deposited by Sol-Gel Method, *International Journal of Hydrogen Energy*, **34**(12), p. 5191 (2008).

[۵] توحیدی، سیدحسین؛ نوین روز، عبدالجواد؛ سنتز ترکیب‌های مس (II) اکسید، روی بستر سیلیکا با ابعاد نانومتری به روش سل - ژل و بررسی طیف سنجی آن، نشریه شیمی و مهندسی شیمی ایران، ۲۶(۳)، ص. ۱۰۵ (۱۳۸۶).

[۶] آزاد منجیری، جلال؛ سید ابراهیمی، سیدعلی؛ سنتز پودر فریت نیکل با ابعاد نانومتر به روش سل - ژل خود احتراقی، نشریه شیمی و مهندسی شیمی ایران، ۲۴(۱)، ص. ۸۳ (۱۳۸۴).

[۷] Ristić M., Popović M., Musić S., Formation and Properties of Cd(OH)<sub>2</sub> and CdO Particles, *Materials Letters*, **58**(20), p. 2494 (2004).

[۸] Fan D.H., Catalyst-Free Growth and Crystal Structures of CdO Nanowires and Nanotubes, *Journal of Crystal Growth*, **311**(8), p. 2300 (2009).

[۹] Dakhel A.A., Correlated Transport and Optical Phenomena in Ga-Doped CdO Films, *Solar Energy*, **82**(6), p. 513 (2008).

[۱۰] Zhang L., Wang W., Yang J., Chen Z., Sonochemical Synthesis of Nanocrystallite Bi<sub>2</sub>O<sub>3</sub> as a Visible-Light-Driven Photocatalyst, *Applied Catalysis*, **308**(10), p. 105 (2006).

[۱۱] Fruth V., Ianculescu A., Berger D., Preda S., Synthesis, Structure and Properties of Doped Bi<sub>2</sub>O<sub>3</sub>, *Journal of the European Ceramic Society*, **26**(14), p. 3011 (2006).

[۱۲] Jayasimhadri M., Ratnam B.V., Jang Kiwan., Conversion of Green Emission into White Light in Gd<sub>2</sub>O<sub>3</sub> Nanophosphors, *Thin Solid Films*, **518**(22), p. 6210 (2010).

[۱۳] Ristić M., Popović S., Musić S., Formation and Properties of Cd(OH)<sub>2</sub> and CdO Particles, *Materials Letters*, **58**(20), p. 2494 (2004).

[۱۴] Ashoka S., Chithaiah P., Chandrappa G.T., Studies on the Synthesis of CdCO<sub>3</sub> Nanowires and Porous CdO Powder, *Materials Letters*, **64**(2), p. 173 (2010).

[۱۵] Balamurugan S., Xu M., Takayama-Muromachi E., Magnetic and Transport Properties of High-Pressure Synthesized Perovskite Cobalt Oxide (Sr<sub>1-x</sub>Cax)CoO<sub>3</sub> (0.2x<0.8), *Journal of Solid State Chemistry*, **178**(11), p. 3431 (2005).

[۱۶] احمدپور، سجاد؛ عالمی، عبدالعلی؛ خادمی‌نیا، شاهین؛ مطالعه ساختاری و سیستماتیک نانو ذرات لیتیم متا سیلیکات (Li<sub>2</sub>SiO<sub>3</sub>) سنتز شده به روش گرمابی، مجله بلورشناسی و کانی شناسی ایران، ۲۱(۲)، ص. ۲۴۳ (۱۳۹۲).